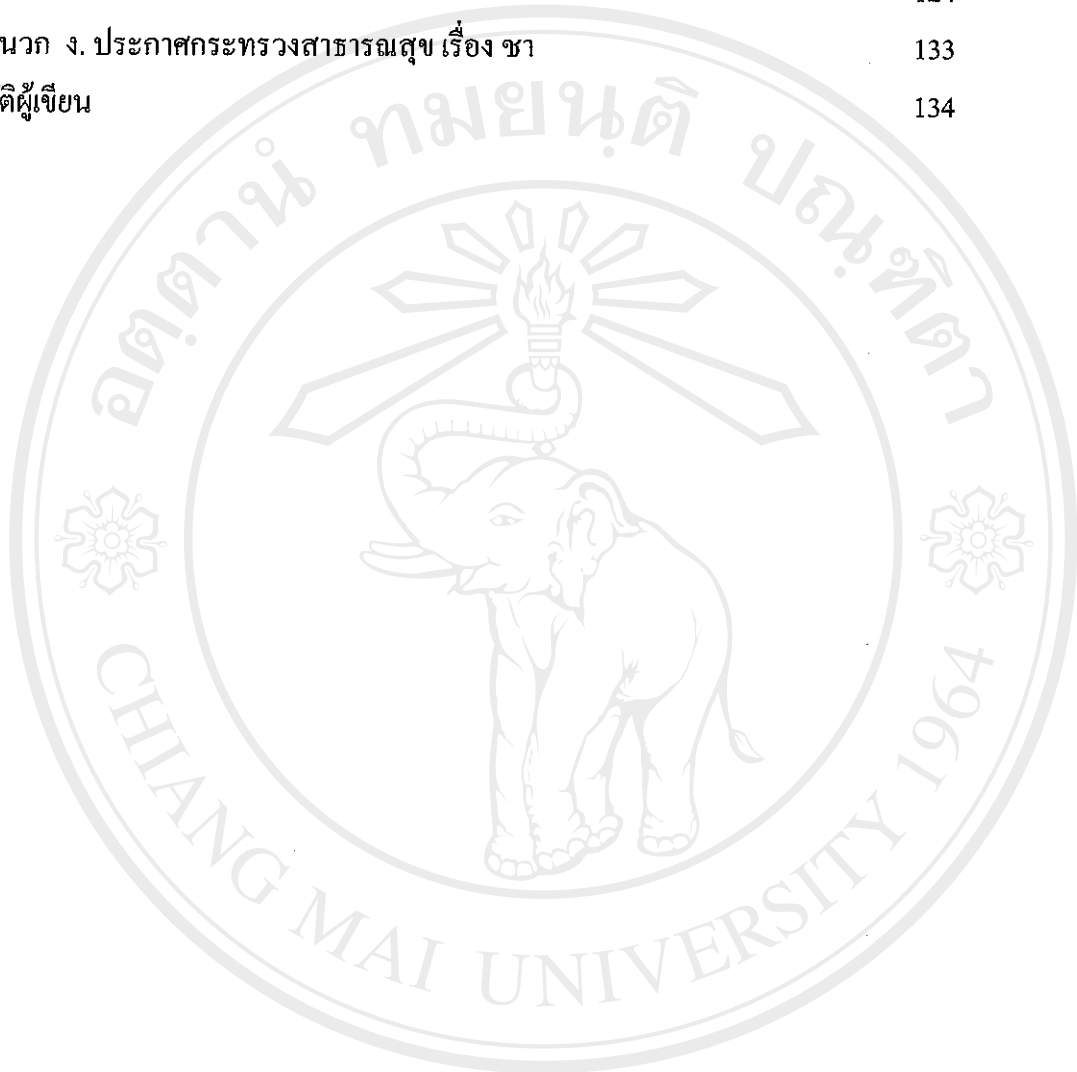


สารบัญ

	หน้า
กิตติกรรมประกาศ	ค
บทคัดย่อภาษาไทย	ง
บทคัดย่อภาษาอังกฤษ	จ
สารบัญ	ฉ
สารบัญตาราง	ช
สารบัญรูป	ฉ
บทที่ 1 บทนำ	
- ที่มาและความสำคัญของปัญหา	1
- วัตถุประสงค์ของงานวิจัย	2
บทที่ 2 งานวิจัยและเอกสารที่เกี่ยวข้อง	
- พลังงานแสงอาทิตย์	3
- การอบแห้งด้วยพลังงานแสงอาทิตย์	6
- ตัวรับรังสีทำอากาศร้อน	9
- หลักการอบแห้ง	11
- วอเตอร์แอกทิวิตี (Water activity)	13
- สมุนไพร	14
- ปัจจัยชี้วัดคุณภาพ	21
บทที่ 3 อุปกรณ์และวิธีการดำเนินงานวิจัย	
- เครื่องมือที่ใช้ในการทดลอง	26
- วิธีดำเนินงานวิจัย	30
บทที่ 4 ผลการทดลองและอภิปรายผล	42
บทที่ 5 สรุปผลการทดลองและข้อเสนอแนะ	100
เอกสารอ้างอิง	103
ภาคผนวก	

ภาคผนวก ก. รูปประกอบการทดลอง	108
ภาคผนวก ข. ข้อมูลของการทดลอง	111
ภาคผนวก ค. การคำนวณ	124
ภาคผนวก ง. ประกาศกระทรวงสาธารณสุข เรื่อง ๗	133
ประวัติผู้เขียน	134



ลิขสิทธิ์มหาวิทยาลัยเชียงใหม่
 Copyright© by Chiang Mai University
 All rights reserved

สารบัญตาราง

ตาราง	หน้า
2.1 คุณลักษณะของชาตามมาตรฐานผลิตภัณฑ์อุตสาหกรรม	24
4.1 ความเร็วลมและน้ำหนักต่อพื้นที่ที่มีผลต่อเวลาที่ใช้ในการอบแห้ง	59
4.2 แสดงค่าสี (L*) หลังการอบพืชสมุนไพร 3 ชนิด โดยใช้เครื่องอบพลังงานแสงอาทิตย์ที่ความเร็วลม 2 ระดับ	72
4.3 แสดงค่าสี (C*) หลังการอบพืชสมุนไพร 3 ชนิด โดยใช้เครื่องอบพลังงานแสงอาทิตย์ที่ความเร็วลม 2 ระดับ	72
4.4 แสดงค่าสี (H°) หลังการอบพืชสมุนไพร 3 ชนิด โดยใช้เครื่องอบพลังงานแสงอาทิตย์ที่ความเร็วลม 2 ระดับ	73
4.5 แสดงค่าสีที่เป็นประโยชน์ (A _w) หลังการอบพืชสมุนไพร 3 ชนิด โดยใช้เครื่องอบพลังงานแสงอาทิตย์ที่ความเร็วลม 2 ระดับ	74
4.6 แสดงปริมาณน้ำมันหอมระเหย(ml / 100g DW) หลังการอบพืชสมุนไพร 3 ชนิด โดยใช้เครื่องอบพลังงานแสงอาทิตย์ที่ความเร็วลม 2 ระดับ	74
4.7 แสดงปริมาณเถ้าทั้งหมด(%) หลังการอบพืชสมุนไพร 3 ชนิด โดยใช้เครื่องอบพลังงานแสงอาทิตย์ที่ความเร็วลม 2 ระดับ	75
4.8 แสดงปริมาณเถ้าที่ละลายน้ำ(%) หลังการอบพืชสมุนไพร 3 ชนิด โดยใช้เครื่องอบพลังงานแสงอาทิตย์ที่ระดับความเร็วลม 2 ระดับ	75
4.9 แสดงปริมาณเชื้อจุลินทรีย์ทั้งหมด(log cfu / 1g sample)หลังการอบพืชสมุนไพร 3 ชนิด โดยใช้เครื่องอบพลังงานแสงอาทิตย์ที่ระดับความเร็วลม 2 ระดับ	76
4.10 แสดงปริมาณยีสต์และรา(log cfu / 1g sample) หลังการอบพืชสมุนไพร 3 ชนิด โดยใช้เครื่องอบพลังงานแสงอาทิตย์ที่ระดับความเร็วลม 2 ระดับ	76
4.11 แสดงปริมาณโคลิฟอร์มและอี.โคไล(MPN / 1g sample) หลังการอบพืชสมุนไพร 3 ชนิด โดยใช้เครื่องอบพลังงานแสงอาทิตย์ที่ระดับความเร็วลม 2 ระดับ	77
4.12 แสดงค่าสี (L*) หลังการอบพืชสมุนไพร 3 ชนิด โดยใช้เครื่องอบพลังงานแสงอาทิตย์ที่น้ำหนัก 2 น้ำหนัก	78
4.13 แสดงค่าสี(C*) หลังการอบพืชสมุนไพร 3 ชนิด โดยใช้เครื่องอบพลังงานแสงอาทิตย์ที่น้ำหนัก 2 น้ำหนัก	78
4.14 แสดงค่าสี(h°) หลังการอบพืชสมุนไพร 3 ชนิด โดยใช้เครื่องอบ	78

พลังงานแสงอาทิตย์ที่น้ำหนัก 2 น้ำหนัก	
4.15 แสดงค่าน้ำที่เป็นประโยชน์(A_w) หลังการอบพืชสมุนไพร 3 ชนิด โดยใช้เครื่องอบพลังงานแสงอาทิตย์ที่น้ำหนัก 2 น้ำหนัก	79
4.16 แสดงปริมาณน้ำมันหอมระเหย(ml / 100g DW) หลังการอบพืชสมุนไพร 3 ชนิด โดยใช้เครื่องอบพลังงานแสงอาทิตย์ที่น้ำหนัก 2 น้ำหนัก	80
4.17 แสดงปริมาณเถ้าทั้งหมด(%) หลังการอบพืชสมุนไพร 3 ชนิด โดยใช้เครื่องอบพลังงานแสงอาทิตย์ที่น้ำหนัก 2 น้ำหนัก	80
4.18 แสดงปริมาณเถ้าที่ละลายน้ำ(%) หลังการอบพืชสมุนไพร 3 ชนิด โดยใช้เครื่องอบพลังงานแสงอาทิตย์ที่น้ำหนัก 2 น้ำหนัก	81
4.19 แสดงปริมาณเชื้อจุลินทรีย์ทั้งหมด(log cfu / 1g sample)หลังการอบพืชสมุนไพร 3 ชนิด โดยใช้เครื่องอบพลังงานแสงอาทิตย์ที่น้ำหนัก 2 น้ำหนัก	81
4.20 แสดงปริมาณยีสต์และรา(log cfu / 1g sample) หลังการอบพืชสมุนไพร 3 ชนิด โดยใช้เครื่องอบพลังงานแสงอาทิตย์ที่น้ำหนัก 2 น้ำหนัก	82
4.21 แสดงปริมาณ โคลิฟอร์มและอี. โคไล(MPN / 1g sample) หลังการอบพืชสมุนไพร 3 ชนิด โดยใช้เครื่องอบพลังงานแสงอาทิตย์ที่น้ำหนัก 2 น้ำหนัก	83
4.22 เปรียบเทียบค่าสี(L*) หลังการอบพืชสมุนไพร 3 ชนิด โดยใช้เครื่องอบแห้ง 3 ชนิด	85
4.23 เปรียบเทียบค่าสี(C*) หลังการอบพืชสมุนไพร 3 ชนิดโดยใช้เครื่องอบแห้ง 3 ชนิด	85
4.24 เปรียบเทียบค่าสี(H°) หลังการอบพืชสมุนไพร 3 ชนิดโดยใช้เครื่องอบแห้ง 3 ชนิด	86
4.25 เปรียบเทียบค่าน้ำที่เป็นประโยชน์(A_w) หลังการอบพืชสมุนไพร 3 ชนิด โดยใช้เครื่องอบแห้ง 3 ชนิด	87
4.26 เปรียบเทียบปริมาณน้ำมันหอมระเหย(ml / 100g DW) หลังการอบพืชสมุนไพร 3 ชนิดโดยใช้เครื่องอบแห้ง 3 ชนิด	88
4.27 เปรียบเทียบปริมาณเถ้าทั้งหมด(%) หลังการอบพืชสมุนไพร 3 ชนิด โดยใช้เครื่องอบแห้ง 3 ชนิด	89
4.28 เปรียบเทียบปริมาณเถ้าที่ละลายน้ำ(%) หลังการอบพืชสมุนไพร 3 ชนิด โดยใช้เครื่องอบแห้ง 3 ชนิด	90
4.29 แสดงปริมาณเชื้อจุลินทรีย์ทั้งหมด(log cfu / 1g sample)ก่อนการอบพืชสมุนไพร โดยใช้เครื่องอบแห้ง 3 ชนิด	91
4.30 แสดงปริมาณยีสต์และรา(log cfu / 1g sample)ก่อนการอบพืชสมุนไพร โดยใช้เครื่องอบแห้ง 3 ชนิด	91

4.31 แสดงปริมาณ โคลิฟอร์ม(MPN/1g sample)ก่อนการอบพีชสมุนไพร โดยใช้เครื่องอบแห้ง อบแห้ง 3 ชนิด	92
4.32 แสดงปริมาณอี. โคไล(MPN/1g sample)ก่อนการอบพีชสมุนไพร โดยใช้เครื่องอบแห้ง อบแห้ง 3 ชนิด	92
4.33 เปรียบเทียบปริมาณเชื้อจุลินทรีย์ทั้งหมด(log cfu / 1g sample)หลังการอบ พีชสมุนไพร 3 ชนิด โดยใช้เครื่องอบแห้ง 3 ชนิด	93
4.34 เปรียบเทียบปริมาณยีสต์และรา(log cfu / 1g sample)หลังการอบ พีชสมุนไพร 3 ชนิด โดยใช้เครื่องอบแห้ง 3 ชนิด	94
4.35 เปรียบเทียบปริมาณ โคลิฟอร์มและอี. โคไล(MPN / 1g sample) หลังการอบ พีชสมุนไพร 3 ชนิด โดยใช้เครื่องอบแห้ง 3 ชนิด	95
4.36 ผลการวิเคราะห์ค่าพลังงานไฟฟ้า	98

สารบัญรูป

รูป	หน้า
2.1 กิจกรรมของเอนไซม์ ปฏิริยาเคมีและจลนทรีย์ที่ค่า A_w ในระดับต่างๆ	14
2.2 แสดงกระบวนการผลิตสมุนไพรอบแห้ง (เลมอนไทย, ยูเอสเอมีน, เปปเปอร์มินท์)	25
3.1 เครื่องอบแห้งพลังงานแสงอาทิตย์ ที่พัฒนาขึ้นโดยภาควิชาวิศวกรรมอาหาร คณะอุตสาหกรรมเกษตร มหาวิทยาลัยเชียงใหม่	28
3.2 ลักษณะภายในเครื่อง (ช่องลมเข้าและออก)ของเครื่องอบแห้งพลังงานแสงอาทิตย์	28
3.3 ลักษณะตะแกรงที่ใช้ในการอบแห้งพืชสมุนไพร	29
3.4 เครื่องอบไฟฟ้าแบบถาด	29
3.5 เครื่องอบไมโครเวฟสุญญากาศแบบตั้งหมุน	30
4.1(a) กราฟแสดงอุณหภูมิและค่าความชื้นสัมพัทธ์ของเลมอนไทย ที่ความเร็วลม 1.5 m/s และ 1.8 m/s ของการอบครั้งที่ 1 (1/5/47-11/5/47)	43
4.1(b) กราฟแสดงอุณหภูมิและค่าความชื้นสัมพัทธ์ของเลมอนไทย ที่ความเร็วลม 1.5 m/s และ 1.8 m/s ของการอบครั้งที่ 2 (2/5/47-13/5/47)	44
4.2 (a) กราฟแสดงอุณหภูมิและค่าความชื้นสัมพัทธ์ของเปปเปอร์มินท์ ที่ความเร็วลม 1.5 m/s และ 1.8 m/s ของการอบครั้งที่ 1 (28/3/47-20/4/47)	44
4.2 (b) กราฟแสดงอุณหภูมิและค่าความชื้นสัมพัทธ์ของเปปเปอร์มินท์ ที่ความเร็วลม 1.5 m/s และ 1.8 m/s ของการอบครั้งที่ 2 (10/5/47-15/5/47)	45
4.3 (a) กราฟแสดงอุณหภูมิและค่าความชื้นสัมพัทธ์ของยูเอสเอมีน ที่ความเร็วลม 1.5 m/s และ 1.8 m/s ของการอบครั้งที่ 1 (9/5/47-14/5/47)	45
4.3 (b) กราฟแสดงอุณหภูมิและค่าความชื้นสัมพัทธ์ของยูเอสเอมีน ที่ความเร็วลม 1.5 m/s และ 1.8 m/s ของการอบครั้งที่ 2 (10/5/47-15/5/47)	46
4.4 (a) กราฟแสดงอุณหภูมิและค่าความชื้นสัมพัทธ์อากาศภายนอกของเลมอนไทย	46
4.4 (b) กราฟแสดงอุณหภูมิและค่าความชื้นสัมพัทธ์อากาศภายนอกของเปปเปอร์มินท์	47
4.4 (c) กราฟแสดงอุณหภูมิและค่าความชื้นสัมพัทธ์อากาศภายนอกของยูเอสเอมีน	47
4.5 ค่าพลังงานแสงอาทิตย์ที่ใช้ในการอบแห้งพืชสมุนไพร 3 ชนิด โดยใช้ตู้อบแห้งพลังงานแสงอาทิตย์	49
4.6 กราฟแสดงการลดความชื้นของเปปเปอร์มินท์ ในวันที่ 28/3/47 ที่ความเร็วลม	51

1.5 m/s ค่าพลังงานแสงอาทิตย์เฉลี่ย 641.0051 W /m ²	
4.7 กราฟแสดงการลดความชื้นของเปปเปอร์มินท์ ในวันที่ 29-30/3/47 ที่ความเร็วลม 1.5 m/s ค่าพลังงานแสงอาทิตย์เฉลี่ย 616.5815 W /m ²	51
4.8 กราฟแสดงการลดความชื้นของเปปเปอร์มินท์ ในวันที่ 20/4/47 ที่ความเร็วลม 1.8 m/s ค่าพลังงานแสงอาทิตย์เฉลี่ย 688.273 W /m ²	52
4.9 กราฟแสดงการลดความชื้นของเปปเปอร์มินท์ ในวันที่ 21/4/47 ที่ความเร็วลม 1.8 m/s ค่าพลังงานแสงอาทิตย์เฉลี่ย 476.091 W /m ²	52
4.10 กราฟแสดงการลดความชื้นของยูเอสเอมินท์ ในวันที่ 9/5/47 ที่ความเร็วลม 1.5 m/s ค่าพลังงานแสงอาทิตย์เฉลี่ย 569.727 W /m ²	54
4.11 กราฟแสดงการลดความชื้นของยูเอสเอมินท์ ในวันที่ 10/5/47 ที่ความเร็วลม 1.5 m/s	54
4.12 กราฟแสดงการลดความชื้นของยูเอสเอมินท์ ในวันที่ 14/5/47 ที่ความเร็วลม 1.8 m/s ค่าพลังงานแสงอาทิตย์เฉลี่ย 688.636 W /m ² / วัน	55
4.13 กราฟแสดงการลดความชื้นของยูเอสเอมินท์ ในวันที่ 15/5/47 ที่ความเร็วลม 1.8 m/s ค่าพลังงานแสงอาทิตย์เฉลี่ย 569.913 W /m ² / วัน	55
4.14 กราฟแสดงการลดความชื้นของเลมอนไทม์ ในวันที่ 1/5/47 ที่ความเร็วลม 1.5 m/s ค่าพลังงานแสงอาทิตย์เฉลี่ย 639.909 W /m ² / วัน	57
4.15 กราฟแสดงการลดความชื้นของเลมอนไทม์ ในวันที่ 2/5/47 ที่ความเร็วลม 1.5 m/s ค่าพลังงานแสงอาทิตย์เฉลี่ย 674.72 W /m ² / วัน	57
4.16 กราฟแสดงการลดความชื้นของเลมอนไทม์ ในวันที่ 11/5/47 ที่ความเร็วลม 1.8 m/s ค่าพลังงานแสงอาทิตย์เฉลี่ย 716.758 W /m ² / วัน	58
4.17 กราฟแสดงการลดความชื้นของเลมอนไทม์ ในวันที่ 13/5/47 ที่ความเร็วลม 1.8 m/s ค่าพลังงานแสงอาทิตย์เฉลี่ย 712.545 W /m ² / วัน	58
4.18 กราฟแสดงการเปรียบเทียบการลดความชื้นของเปปเปอร์มินท์ ในวันที่ 28/3/47 ที่ความเร็วลม 1.5 m/s	61
4.19 กราฟแสดงการเปรียบเทียบการลดความชื้นของเปปเปอร์มินท์ ในวันที่ 29-30/3/47 ที่ความเร็วลม 1.5 m/s	61
4.20 กราฟแสดงการเปรียบเทียบการลดความชื้นของเปปเปอร์มินท์ ในวันที่ 20/4/47 ที่ความเร็วลม 1.8 m/s	62
4.21 กราฟแสดงการเปรียบเทียบการลดความชื้นของเปปเปอร์มินท์	62

ในวันที่ 21/4/47 ที่ความเร็วลม 1.8 m/s	
4.22 กราฟแสดงการเปรียบเทียบการลดความชื้นของยูเอสเอมน์	64
ในวันที่ 9/5/47 ที่ความเร็วลม 1.5 m/s	
4.23 กราฟแสดงการเปรียบเทียบการลดความชื้นของยูเอสเอมน์	64
ในวันที่ 10/5/47 ที่ความเร็วลม 1.5 m/s	
4.24 กราฟแสดงการเปรียบเทียบการลดความชื้นของยูเอสเอมน์	65
ในวันที่ 14/5/47 ที่ความเร็วลม 1.8 m/s	
4.25 กราฟแสดงการเปรียบเทียบการลดความชื้นของยูเอสเอมน์	65
ในวันที่ 15/5/47 ที่ความเร็วลม 1.8 m/s	
4.26 กราฟแสดงการเปรียบเทียบการลดความชื้นของเลมอนไทม์	67
ในวันที่ 1/5/47 ที่ความเร็วลม 1.5 m/s	
4.27 กราฟแสดงการเปรียบเทียบการลดความชื้นของเลมอนไทม์	67
ในวันที่ 2/5/47 ที่ความเร็วลม 1.5 m/s	
4.28 กราฟแสดงการเปรียบเทียบการลดความชื้นของเลมอนไทม์	68
ในวันที่ 11/5/47 ที่ความเร็วลม 1.8 m/s	
4.29 กราฟแสดงการเปรียบเทียบการลดความชื้นของเลมอนไทม์	68
ในวันที่ 13/5/47 ที่ความเร็วลม 1.8 m/s	
4.30 กราฟแสดง ความสัมพันธ์ระหว่างอัตราการอบแห้ง ของเปปเปอร์มินท์ และ	69
ความชื้นที่อบด้วยเครื่องอบแห้งไฟฟ้าแบบถาด ความเร็วลม 1.5 และ 1.8 m/s	
4.31 กราฟแสดง ความสัมพันธ์ระหว่างอัตราการอบแห้ง ของยูเอสเอมน์และ	70
ความชื้นที่อบด้วยเครื่องอบแห้งไฟฟ้าแบบถาด ความเร็วลม 1.5 และ 1.8 m/s	
4.32 กราฟแสดง ความสัมพันธ์ระหว่างอัตราการอบแห้ง ของเลมอนไทม์ และ	70
ความชื้นที่อบด้วยเครื่องอบแห้งไฟฟ้าแบบถาด ความเร็วลม 1.5 และ 1.8 m/s	